

УДК 539.3

**ГРАНИЧНО-ЭЛЕМЕНТНАЯ МЕТОДИКА РЕШЕНИЯ  
ТРЕХМЕРНЫХ НЕСТАЦИОНАРНЫХ ДИНАМИЧЕСКИХ ЗАДАЧ  
ТЕОРИИ УПРУГОСТИ И ВЯЗКОУПРУГОСТИ**

**Л.А. Игумнов, А.А. Белов, А.А. Ануфриев, С.Ю. Литвинчук,  
А.В. Аменицкий, М.Д. Ермолаев**

*Нижний Новгород*

Представлена гранично-элементная методика расчета смешанных начально-краевых задач трехмерной изотропной теории упругости и вязкоупругости. Использована прямая формулировка метода граничных интегральных уравнений в сочетании с интегральным преобразованием Лапласа по времени. Численное обращение преобразования Лапласа организовано на основе метода Дурбина. Для описания вязкоупругих свойств материала использовались как регулярные, так и сингулярные функции памяти. Рассматривались кусочно-однородные тела. Приведены результаты численных экспериментов, демонстрирующие высокую точность численной методики.

При решении методом граничных элементов динамических задач сформировалось два подхода к учету переменной времени: применение интегрального преобразования по времени Лапласа (или Фурье) с решением задачи в изображениях и численным обращением интегрального преобразования; в явном учете переменной времени (как пространственных переменных) с использованием шаговых по времени процедур. Оба подхода первоначально были применены для решения плоских задач о дифракции акустических волн на препятствиях в идеальной сжимаемой жидкости [1–3]. Распространение первого подхода на решение плоских нестационарных динамических задач теории упругости было осуществлено в работах [4, 5] (использовалось преобразование Лапласа). Дальнейшее развитие методика получила в работах [6, 7]. Была, в частности, улучшена точность численного обращения преобразования Лапласа – применен метод Дурбина [8]. В работе [9] были проанализированы восемь различных методов обращения преобразования Лапласа, и метод Дурбина был выбран как наиболее подходящий для решения нестационарных динамических задач.

Применению преобразования Лапласа и метода Дурбина посвящена работа [10]. Преобразование Фурье для решения двумерных нестационарных динамических задач теории упругости применялось в работах [11–13]. В работе [14] применен первый подход, и численное обращение преобразования Лапласа решалось на основе метода, использующего ортогональные полиномы с помощью “регуляризирующего” алгоритма Л.Н. Тихонова решения некорректных задач.

Распространение первого подхода, использующего преобразование Лапласа по временной переменной, на численное решение трехмерных динамических задач теории упругости было осуществлено в работе [15]. В ней проведено тестирование

предложенной методики путем сравнения численного решения с точным в пространстве изображений.

В работе [16] второй подход был применен для исследования антиплоской деформации. Развитие второго подхода для решения произвольных двумерных нестационарных динамических задач теории упругости было осуществлено в работах [17, 18]. В них авторы использовали аналитическое интегрирование по времени. В работе [18] было проведено сравнение первого и второго подходов на решении конкретной двумерной нестационарной динамической задачи. В рамках первого подхода применялось как преобразование Лапласа, так и преобразование Фурье. В случае рассмотренной задачи в рамках первого подхода для достижения одинаковой точности применение преобразования Лапласа оказалось экономичнее, чем применение преобразования Фурье. Использование интегральных преобразований приводит к сглаживанию волновой картины. Второй подход дает лучшие результаты в начальные моменты времени, а после большого числа шагов демонстрирует погрешность.

Впервые численная методика для расчета нестационарного динамического деформирования трехмерных упругих элементов конструкций с использованием шаговой процедуры была детально изучена в работах [19–22] и реализована в виде программы. Среди первых работ второго подхода по численному анализу трехмерных упругодинамических задач можно назвать [23]. Но лишь с работы [24] удалось устранить все выявившиеся существенные проблемы гранично-элементного моделирования.

Дальнейшее состояние вопроса можно проследить по обзору [25] и по статьям [26–28].

### 1. Постановка задачи

Рассматривается кусочно-однородное тело  $\Omega$  в трехмерном евклидовом пространстве  $R^3$  с декартовой системой координат  $Ox_1x_2x_3$ . Границу тела обозначим через  $\Gamma$ , границы однородных частей  $\Omega_k$  ( $k = 1, \dots, K$ ) – через  $\Gamma_k$ . Предполагается, что  $\Omega_k$  являются изотропными вязкоупругими телами [19, 20, 22]. Введем обозначения для параметров материала каждой однородной части (подконструкции)  $\Omega_k$ :  $\rho^k$  – плотность материала,  $\lambda^k(t)$  и  $\mu^k(t)$  – функции Ламе материала. Динамическое состояние каждой части тела  $\Omega_k$  описывается следующей системой дифференциальных уравнений в перемещениях:

$$\mu^k(t) * \Delta u^k(x, t) + (\lambda^k(t) + \mu^k(t)) * \text{grad div } u^k(x, t) = \rho^k \ddot{u}^k(x, t), \quad (1)$$

где символ “\*” означает свертку Стильбеса по времени  $t$ . В уравнениях (1)  $u^k(x, t)$  – вектор перемещений точки  $x = (x_1, x_2, x_3)$  в момент времени  $t$ . Физические и геометрические соотношения имеют вид:

$$\sigma_{ij} = \delta_{ij} \lambda * \varepsilon_{kk} + 2\mu * \varepsilon_{ij}; \quad \varepsilon_{ij} = \frac{1}{2} \left( \frac{\partial u_j}{\partial x_i} + \frac{\partial u_i}{\partial x_j} \right),$$

где  $\sigma_{ij}, \varepsilon_{ij}$  ( $i = \overline{1, 3}, j = \overline{1, 3}$ ) – тензоры напряжений и деформаций.

Пусть вектор перемещений и функции Ламе материала удовлетворяют условиям:

$$u^k(x, 0) = \dot{u}^k(x, 0) = 0,$$

$$\mu(t - \tau) = 0, \quad \lambda(t - \tau) = 0, \quad \text{где } t < \tau,$$

$$\lim_{t \rightarrow 0} \dot{\mu}(t) = 0, \quad \lim_{t \rightarrow 0} \dot{\lambda}(t) = 0.$$

Конкретный вид функций  $\mu(t)$  и  $\lambda(t)$  определяется вязкоупругой моделью материала. Будем рассматривать случай пропорциональных функций памяти, тогда достаточно описать физические соотношения, к примеру, для случая  $i \neq j$ :

$$\sigma_{ij} = 2\mu * \varepsilon_{ij} = 2 \int_0^t G(t - \tau) d\varepsilon_{ij}(\tau),$$

$$\frac{dG(t)}{dt} = -R(t), \quad R(t) \equiv k(t) - \int_0^t k(t - \tau)k(\tau) d\tau + \dots,$$

$$\frac{dJ(t)}{dt} = k(t),$$

где  $G(t)$  – функция памяти материала;  $R(t)$ ,  $k(t)$  – ядра релаксации и ползучести материала. Функции памяти классических вязкоупругих моделей имеют вид:

$$G(t) = G(0)e^{-\gamma t} \quad \text{– модель Максвелла,}$$

$$J(t) = J(0)(1 - e^{-\beta t}) \quad \text{– модель Кельвина–Фойгта,}$$

$$G(t) = G(\infty) + (G(0) - G(\infty))e^{-\gamma t} \quad \text{– модель стандартного вязкоупругого тела,}$$

где  $\gamma$  и  $\beta$  – величины, обратные характерным временам релаксации и ползучести соответственно. Кроме того, пусть отношение значения модуля на бесконечности к значению модуля в начальный момент (для регулярных моделей) определяется параметром  $\omega = G(\infty)/G(0)$ .

Модифицированная теория вязкоупругости предполагает использование ядер следующего типа:

$$k(t) = \varphi(t) + \frac{1}{4}\varphi(t) * \varphi(t).$$

Здесь будут рассматриваться два случая таких ядер:

$$\varphi(t) = k \ln \frac{1}{t_+}, \quad \varphi(t) = k \frac{t_+^{-\alpha}}{\Gamma(1 - \alpha)}, \quad 0 < \alpha < 1.$$

Введем вектор напряжений  $t_n(x, t)$  в точке  $x$  на элементарной площадке с единичной нормалью  $n(x)$ :

$$t_n(x, t) \equiv T_{n(x)}u(x, t) = n(x)\lambda(t) * \operatorname{div} u(x, t) + 2\mu(t) * \frac{\partial u(x, t)}{\partial n(x)} + \mu(t) * [n(x) \times \operatorname{rot} u(x, t)]. \quad (2)$$

Если  $x \in \Gamma_k$ , то под  $n(x)$  будем понимать единичный вектор внешней (по отношению к  $\Omega_k$ ) нормали к границе  $\Gamma_k$ . Вектор напряжений  $t_n(x, t) = (t_1, t_2, t_3)$  на границе  $\Gamma_k$ , соответствующий этой нормали, обозначим через  $t^k(x, t)$ .

Будем рассматривать следующие типы граничных условий для  $\Omega_k$ :

$$u_l^k(x, t) = f_l^k(x, t), \quad x \in \Gamma^u \cap \Gamma_k, \quad l = \overline{1, 3}, \quad (3)$$

$$t_l^k(x, t) = g_l^k(x, t), \quad x \in \Gamma^\sigma \cap \Gamma_k; \quad (4)$$

$$u_i^k(x, t) = u_i^s(x, t), \quad t_i^k(x, t) = -t_i^s(x, t), \quad x \in \Gamma'_{ks}; \quad (5)$$

$$t_i^k(x, t) = -t_i^s(x, t) = \alpha_{ij}^{k,s}(x)[u_j^k(x, t) - u_j^s(x, t)], \quad x \in \Gamma'_{ks}. \quad (6)$$

Здесь  $\Gamma^u$  и  $\Gamma^\sigma$  – части границы  $\Gamma$  тела  $\Omega$ , по которым заданы соответственно перемещения и поверхностные силы;  $\Gamma'_{ks}$  – граница жесткого контакта частей  $\Omega_k$  и  $\Omega_s$ ;  $\Gamma''_{ks}$  – граница, по которой осуществляется упругая связь частей  $\Omega_k$  и  $\Omega_s$ . Функции  $f_l^k(x, t)$  и  $g_l^k(x, t)$  являются заданными функциями координат и времени, коэффициенты  $\alpha_{ij}^{k,s}$  характеризуют свойства упругой связи частей тела  $\Omega_k$  и  $\Omega_s$ . В дальнейшем интегральные представления рассматриваются в терминах преобразования Лапласа. Для расчета нестационарных задач в явном времени представленная численная методика должна быть дополнена процедурой обратного преобразования Лапласа.

## 2. Интегральная формулировка

Применим к исходным уравнениям интегральное преобразование Лапласа:

$$f(x, p) = \int_0^\infty f(t) e^{-ipt} dt,$$

где  $p$  – параметр преобразования Лапласа.

В качестве метода решения будем использовать метод граничных интегральных уравнений (ГИУ) [19], в основе которого лежит сведение краевой задачи для дифференциального уравнения движения к интегральному уравнению относительно граничных функций.

Вектор перемещений во внутренних точках области связан следующим образом с граничными значениями перемещений и усилий (формула Соммильяны):

$$\bar{u}_l(x, p) = \int_\Gamma U_{lj}(x, y, p) \bar{t}_j(y, p) d_y S - \int_\Gamma T_{lj}(x, y, p) \bar{u}_j(y, p) d_y S, \quad (7)$$

$$l = 1, 2, 3, \quad x \in \Omega.$$

Здесь  $U_{lj}$  и  $T_{lj}$  – соответственно компоненты тензоров фундаментальных и сингулярных решений уравнения (1). Тензор  $T$  выражается из (2) через тензор  $U$  с помощью оператора напряжений  $T_n$ :

$$T(x, y, p) = [T_{n(x)} U(x, y, p)]^T,$$

где верхний значок “ $T$ ” означает транспонирование. Компоненты тензоров  $U$  и  $T$  имеют вид:

$$U_{lj}(x - y, p) = \sum_{m=1}^2 \left[ U_{lj}^m(x - y) - \frac{1}{-ip r^2} U_{lj}^3(x - y) \left( -\frac{1}{ip} + \frac{ir}{\bar{c}_m} \right) (-1)^{m+1} \right] e^{-pr/\bar{c}_m},$$

$$T_{ij}(x, y, p) = \sum_{m=1}^2 \left[ T_{ij}^{1,m}(x, y) + T_{ij}^m(x, y) + \frac{1}{(-ipr)^2} T_{ij}^3(-1)^m \left( \frac{pr}{\bar{c}_m} \right) \right] e^{-pr/\bar{c}_m},$$

где

$$U_{ij}^1(x-y) = \frac{r_{,l}r_{,j}}{4\pi r\rho \bar{c}_1^2}, \quad U_{ij}^2(x-y) = \frac{1}{4\pi r\rho \bar{c}_1^2} (\delta_{ij} - r_{,l}r_{,j}),$$

$$U_{ij}^3(x-y) = \frac{1}{4\pi r\rho} (-\delta_{ij} + 3r_{,l}r_{,j}),$$

$$T_{ij}^{1,1}(x, y) = \frac{\bar{c}_2^2}{4\pi r\bar{c}_1^2} \left( -\frac{\bar{\lambda}}{\bar{\mu}} n_{j,r,l} - 2 \frac{\partial r}{\partial n} r_{,l}r_{,j} \right),$$

$$T_{ij}^{1,2}(x, y) = \frac{1}{4\pi r\bar{c}_2} \left( -n_{l,r,l} - \frac{\partial r}{\partial n} \delta_{lj} + 2 \frac{\partial r}{\partial n} r_{,l}r_{,j} \right),$$

$$T_{ij}^1(x, y) = \frac{\bar{c}_2^2}{4\pi r\bar{c}_1^2} \left[ 2n_{l,r,j} + \left( 2 - \frac{\bar{\lambda}}{\bar{\mu}} \right) n_{j,r,l} + 2 \frac{\partial r}{\partial n} \delta_{lj} - 12 \frac{\partial r}{\partial n} r_{,l}r_{,j} \right],$$

$$T_{ij}^2(x, y) = \frac{1}{4\pi r^2} \left( -3n_{l,r,j} - 2n_{j,r,l} - 3 \frac{\partial r}{\partial n} \delta_{lj} + 12 \frac{\partial r}{\partial n} r_{,l}r_{,j} \right),$$

$$T_{ij}^3(x, y) = \frac{6\bar{c}_2^2}{4\pi r^2} \left( n_{l,r,j} + n_{j,r,l} + 3 \frac{\partial r}{\partial n} \delta_{lj} - 5 \frac{\partial r}{\partial n} r_{,l}r_{,j} \right),$$

причем  $n_l \equiv n_l(y)$ .

Для задач вязкоупругости величины  $\bar{c}_1 = \bar{c}_1(p)$  и  $\bar{c}_2 = \bar{c}_2(p)$  являются операторами скоростей продольных и поперечных волн соответственно.

Формула Сомильяны (7) дает следующее ГИУ:

$$c_{ij}(x) \bar{u}_j(x, p) + \int_{\Gamma} T_{ij}(x, y, p) \bar{u}_j(y, p) d_y S = \int_{\Gamma} U_{ij}(x-y, p) \bar{t}_j(y, p) d_y S, \quad (8)$$

$$l=1, 2, 3, \quad x \in \Gamma.$$

Интеграл в левой части (8) является сингулярным, то есть понимается в смысле главного значения по Коши, а коэффициент при внеинтегральном члене определяется формулой:

$$c_{ij}(x) = \frac{1-\alpha_{\Omega}}{2} \delta_{ij} - \int_{\Gamma} T_{ij}^0(x, y) d_y S,$$

где

$$T_{ij}^0(x, y) = T_{ij}^1(x, y) + T_{ij}^2(x, y) + \frac{1}{2} \left( \frac{1}{\bar{c}_2^2} - \frac{1}{\bar{c}_1^2} \right) * T_{ij}^3(x, y)$$

и  $\alpha_{\Omega}$  равна 1, если область  $\Omega$  конечна, и  $-1$  для бесконечной области  $\Omega$ . Если в точке  $x$  поверхность имеет единственную касательную плоскость, то  $c_{ij}(x) = \delta_{ij}/2$ . ГИУ (8) позволяет разработать эффективную численную методику для определения

неизвестных амплитуд граничных перемещений и поверхностных сил. Решением исходной начально-краевой задачи будет вектор-функция  $u(x, t)$ , полученная путем применения к решению (7), (8) обратного преобразования Лапласа:

$$f(t) = \frac{1}{2\pi i} \int_{\beta-i\infty}^{\beta+i\infty} f(p) e^{ipt} dp. \quad (9)$$

### 3. Методика численного решения

Методика построения и численного решения дискретного аналога ГИУ (8) является развитием работы [29]. В качестве проекционного метода применялся метод коллокаций. Граница аппроксимировалась совокупностью четырехугольных и треугольных восьмиузловых биквадратичных элементов. При этом треугольные элементы рассматривались как вырожденные четырехугольные элементы. Использовалась следующая согласованность аппроксимации граничных функций с аппроксимацией границы: для аппроксимации граничных перемещений применялись билинейные элементы, а для поверхностных сил – постоянные элементы. Для получения дискретного аналога ГИУ в качестве точек коллокации выбирались узлы аппроксимации граничных функций, в которых эти функции неизвестны. Если задача обладает физической симметрией (симметрией тела и граничных условий), то осуществляется учет этой симметрии, использующий отображения основного (повторяемого) фрагмента границы тела на все симметричные ему фрагменты. При этом в сечениях тела плоскостями симметрии гранично-элементная сетка не строится и, следовательно, дополнительные неизвестные не появляются. Формируемая система уравнений содержит неизвестные, относящиеся только к основному фрагменту границы тела. Подробное описание методики дано в работах [29, 30].

При численном обращении преобразования Лапласа интеграл (9) обращается с помощью алгоритма Дурбина [8]:

$$f(t_j) \approx 2 \frac{e^{j\beta\Delta t}}{T} \left[ -\frac{1}{2} \operatorname{Re} \{ \bar{f}(\beta) \} + \operatorname{Re} \left\{ \sum_{n=0}^N (A(n) + iB(n)) W^{jn} \right\} \right],$$

$$W = e^{i2n/N},$$

$$A(n) = \sum_{l=0}^L \operatorname{Re} \left\{ \bar{f} \left( \beta + i(n + lN) \frac{2\pi}{T} \right) \right\}, \quad B(n) = \sum_{l=0}^L \operatorname{Im} \left\{ \bar{f} \left( \beta + i(n + lN) \frac{2\pi}{T} \right) \right\},$$

$$n = 0, 1, \dots, N, \quad l = 0, 1, \dots, L, \quad t_j = j\Delta t = jT/N, \quad j = 0, 1, \dots, N-1.$$

Одна из модификаций алгоритма выглядит следующим образом:

$$F_k = \operatorname{Re} [\bar{f}(\beta + i\omega_k)], \quad G_k = \operatorname{Im} [\bar{f}(\beta + i\omega_k)], \quad \Delta_k = \omega_{k+1} - \omega_k,$$

$$f(0) = \sum_{k=1}^{\infty} \frac{(F_k + F_{k+1})\Delta_k}{2\pi},$$

$$f(t) \approx \frac{e^{\alpha t}}{\pi t^2} \sum_{k=1}^{\infty} \left[ \frac{F_{k+1} - F_k}{\Delta_k} (\cos(\omega_{k+1}t) - \cos(\omega_k t)) - \frac{G_{k+1} - G_k}{\Delta_k} (\sin(\omega_{k+1}t) - \sin(\omega_k t)) \right].$$

#### 4. Численные эксперименты

Для демонстрации возможностей гранично-элементной методики приводятся результаты расчета трех задач: задачи о действии нестационарной нагрузки на поверхности сферической полости; задачи о действии нестационарной нагрузки на поверхности шара; задачи о действии нестационарной нагрузки на кубическую полость. Результаты расчетов сравнивались как с аналитическим решением (для сферической полости), так и с результатами других авторов [19, 21, 22]. Следует подчеркнуть, что результаты в [19, 21, 22] получены на основе второго подхода – с использованием шаговых процедур. Нагрузка, которая выбрана в задачах, показана на рис. 1.

Для сферической полости (шара) дискретная модель строилась следующим образом. Впишем в сферическую полость куб, каждую грань которого разобьем на 64 одинаковых четырехугольных восьми-узловых элемента. Таким образом, сфера аппроксимируется 384 биквадратичными элементами.

Дискретный аналог ГИУ строился с учетом трех плоскостей симметрии ( $x_1 = x_2 = x_3 = 0$ ), что позволило в качестве основного элемента границы выбрать фрагмент сферы (шара), соответствующий четверти грани куба.

Параметры моделей: модель Максвелла  $\gamma = 0,05$ , модель Кельвина–Фойгта  $\beta = 5$ , модель стандартного вязкоупругого тела  $\omega = 0,5$ ,  $\gamma = 0,05$ , логарифмическая модель  $k = 1$ , степенная модель  $k = 1$ ,  $\alpha = 0,9$ .

Параметры задач:

1. Задача о сферической полости:  $R_{\text{сфер}} = 1,0$ ;  $C_1 = 1,309307$ ;  $C_2 = 0,6546537$ ;  $\rho = 7,0$ .

2. Задача о шаре:  $R_{\text{шара}} = 1,0$ ;  $C_1 = 2,0$ ;  $C_2 = 1,0$ ;  $\rho = 1,0$ .

3. Задача о кубической полости:  $R_{\text{ребро куба}} = 1,0$ ;  $C_1 = 2,0$ ;  $C_2 = 1,0$ ;  $\rho = 1,0$ .

На рис. 2–9 приведены численные результаты для центрально-симметричных задач (сферической полости и шара). Численные результаты для различных элементов, тем не менее, отличаются и, поэтому на рис. 2–9 приведены кривые минимальных и максимальных полученных значений перемещений.

На рис. 2–5 изображены решения задачи о действии нестационарной нагрузки на поверхности сферической полости. Точность методики такова, что несовпадение численного и аналитического решений на рис. 1–3, 5 графически незаметно. На рис. 4 кривая аналитического решения имеет более глубокий минимум.

На рис. 2 кривые 1 соответствуют упругой модели, кривые 2 – модели Максвелла. На рис. 3 кривые 1 соответствуют модели Кельвина–Фойгта, кривые 2 – модели стандартного вязкоупругого тела. Результаты, полученные для упругой модели и для классических (дифференциальных) моделей, отличаются по большей части амплитудой, а не качественно. В то же время видны существенные отличия для степенной (рис. 5) и логарифмической (рис. 4) моделей по сравнению с упругим случаем.

На рис. 6–9 изображены решения задачи о действии нестационарной нагрузки на поверхности шара.

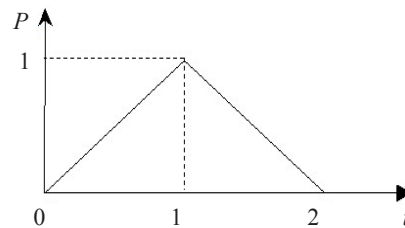


Рис. 1

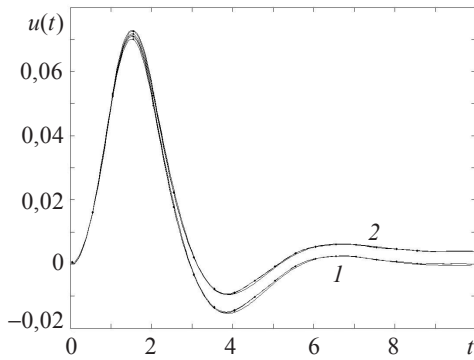


Рис. 2

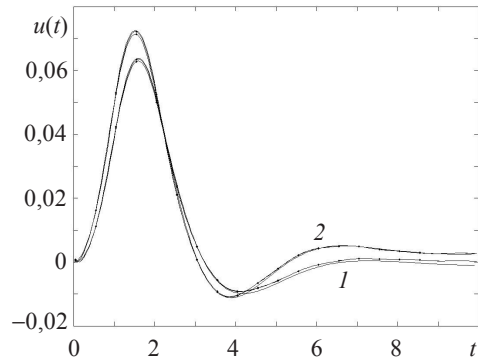


Рис. 3

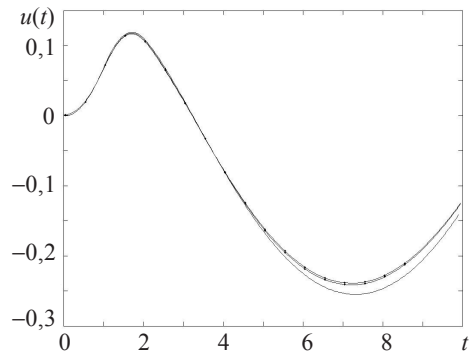


Рис. 4

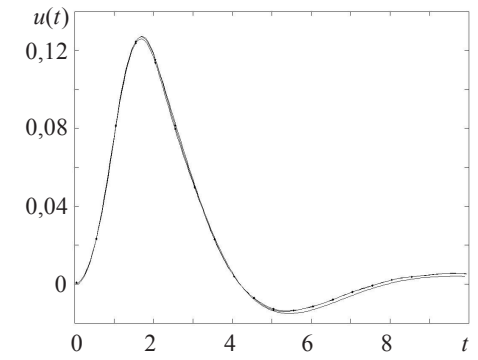


Рис. 5

На рис. 6 кривые 1 соответствуют упругой модели, кривые 2 – модели Максвелла. На рис. 7 кривые 1 соответствуют модели Кельвина–Фойгта, кривые 2 – модели стандартного вязкоупругого тела.

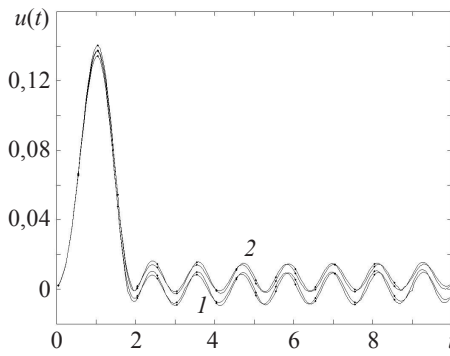


Рис. 6

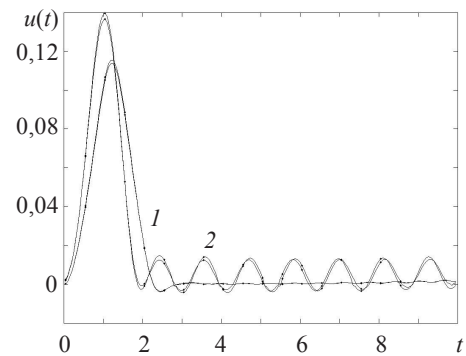


Рис. 7

Рис. 8 и 9 соответствуют решениям для логарифмической и степенной моделей соответственно.

Фойгтовская и логарифмическая модели сред не позволяют выйти колебательному процессу шара на стационарный режим (соответствующий низшей собственной частоте колебаний). При степенной модели среды колебания шара происходят с сильно затухающей амплитудой в нестационарном режиме.



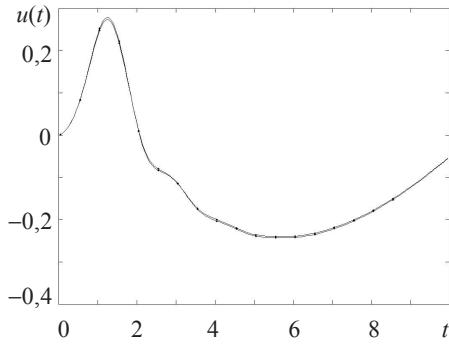


Рис. 8

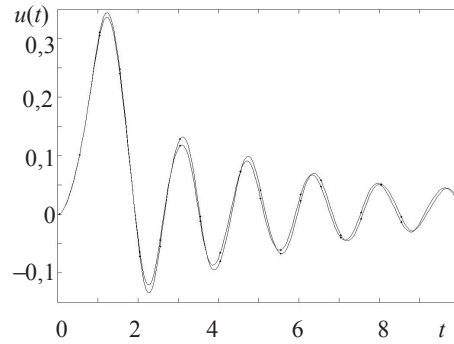


Рис. 9

На рис. 10 представлена кубическая полость.

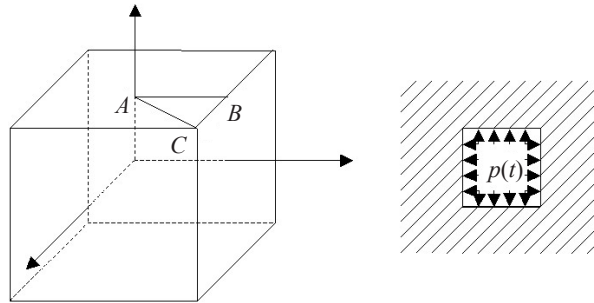


Рис. 10

На рис. 11–14 представлены решения задачи о действии нестационарной нагрузки на кубическую полость.

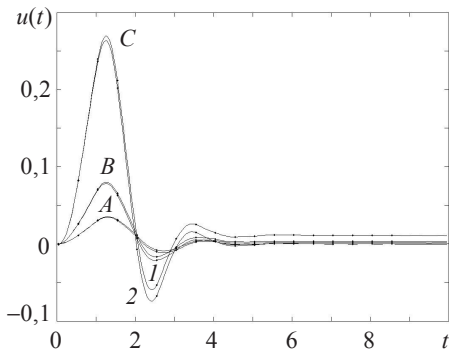


Рис. 11

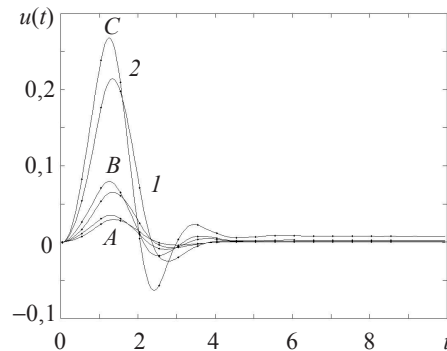


Рис. 12

В этой задаче нет абсолютной симметрии, поэтому были рассмотрены три наиболее интересные точки и построены графики нормальных перемещений к плоскости  $ABC$ .

На графиках скачки с наиболее высокой амплитудой соответствуют точке  $C$ , с наиболее низкой – точке  $A$ . На рис. 11 кривая  $1$  соответствует упругой модели, кривая  $2$  – модели Максвелла. На рис. 12 кривая  $1$  соответствует модели Кельвина–Фойгта, кривая  $2$  – модели стандартного вязкоупругого тела. Рис. 13 и 14 соответствуют решениям для степенной и логарифмической моделей.

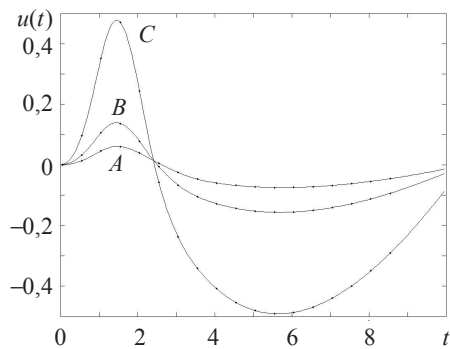


Рис. 13

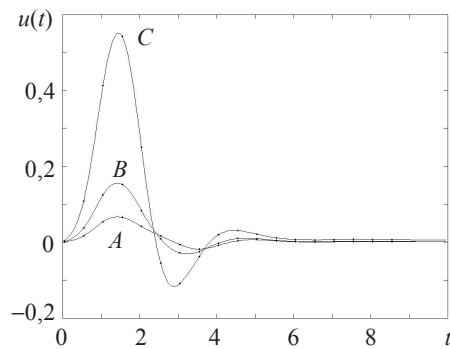


Рис. 14

Проведенные расчеты показывают, что точность полученных результатов высокая. Использование аппарата интегрального преобразования Лапласа совместно с методом ГИУ позволяет существенно упростить численное решение задач вязкоупругости методом граничных элементов по сравнению с методом гранично-временных элементов. Учет вязкоупругих свойств среды может существенно изменить картину динамического деформирования.

Работа выполнена при поддержке РФФИ (гранты № 05-01-08055, 05-01-00837) и ФЦНТП "Исследования и разработки по приоритетным направлениям науки и техники" (ЛОТ № 2005-Р4-112/001, XII очередь – научные школы, шифр темы Р4-112/001/404).

#### Литература

1. Banaugh, R.P. Diffraction of steady acoustic waves by surfaces of arbitrary shape / R.P. Banaugh, W. Goldsmith // J. Acoust. Soc. Amer. – 1963. – Vol. 35. – P. 1590–1601.
2. Friedman, M. Diffraction of a plane shock wave by an arbitrary rigid cylindrical obstacle / M. Friedman, R.P. Shaw // J. Appl. Mech. – 1962. – Vol. 29. – P. 40–46.
3. Shaw, R.P. Boundary integral equation methods applied to wave problems / R.P. Shaw // Developments in boundary element methods Vol. 1 / By P.K. Banerjee, R. Butterfield. – London: Applied Science Publishers, 1979. – P. 121–153.
4. Cruse, T.A. A direct formulation and numerical solution of the general transient elasto-dynamic problem. I / T.A. Cruse, F.J. Rizzo // J. Math. Anal. Appl. – 1968. – Vol. 22, 1. – P. 244–259.
5. Cruse, T.A. A direct formulation and numerical solution of the general transient elasto-dynamic problem. II / T.A. Cruse // J. Math. Anal. Appl. – 1968. – Vol. 22, 2. – P. 341–355.
6. Manolis, G.D. Dynamic stress concentration studies by the boundary integral equations method / G.D. Manolis, D.E. Beskos // Proc. 2nd Int. Symp. Innov. Num. Analysis in Appl. Eng. Sci. / Ed. by R.P. Shaw et al. – Virginia. – 1980. – P. 459–463.
7. Manolis, G.D. Dynamic stress concentration studies by the boundary integrals and Laplace transform / G.D. Manolis, D.E. Beskos // Int. J. Num. Meth. Eng. – 1981. – Vol. 17, 4. – P. 573–599.
8. Durbin, F. Numerical inversion of Laplace transforms: an efficient improvement to Dubner and Abate's method / F. Durbin // The Computer Journal. – 1974. – Vol. 17, 4. – P. 371–376.
9. Narayanan, G.V. Numerical operational methods for time-dependent linear problems / G.V. Narayanan, D.E. Beskos // Int. J. Num. Meth. Eng. – 1982. – Vol. 18, 12. – P. 1829–1854.
10. Tullberg, O. BEMDYM - a boundary element program for two-dimensional elastodynamics / O. Tullberg // Boundary Elem. Proc. 5th Int. Conf. – Hiroshima. – 1983. – P. 835–845.
11. Niwa, Y. An analysis of transient stresses produced around cavities of arbitrary shape during the passage of traveling waves / Y. Niwa, S. Kobayashi, N. Azuma // Memo. Faculty of Eng. Kyoto Univ. – 1975. – Vol. 37. – P. 28–46.
12. Kobayashi, S. Some problems of the boundary integral equation method in elastodynamics / S. Kobayashi // Boundary Elem. Proc. 5th Int. Conf. – Hiroshima. – 1983. – P. 755–784.

13. Niwa, Y. Application of the boundary integral equation (BIE) method to transient re-sponse analysis of inclusions in a half space / Y. Niwa, S. Hirose, M. Kitahara // Wave motion. – 1986. – Vol. 8, № 1. – P. 77–91.
14. Галабурдин, А.В. Решение плоской динамической задачи теории упругости методом граничных интегральных уравнений / А.В. Галабурдин. – Ростов-на-Дону: Ростовский университет. 1983. – Деп. В ВИНИТИ. – №5875–83 Деп.
15. Ройтфарб, И.З. Численный метод решения пространственных динамических задач теории упругости на основе метода потенциала / И.З. Ройтфарб, Чу Вьет Кыонг // Сопротивление материалов и теория сооружений. – Киев. – 1976. – С.32–38.
16. Cole, D.M. A numerical boundary integral equation method for elastodynamics / D.M. Cole, D.D. Kosloff, J.B. Minster // Bull. Seism. Soc. Amer. – 1978. – Vol. 68, 5. – P. 1331–1357.
17. Niwa, Y. An application of the integral equation method to two-dimensional elastodynamics / Y. Niwa, T. Fukui, S. Kato // Theor. Appl. Mech. – Univ. of Tokio press. – 1980. – Vol. 28. – P. 281–290.
18. Manolis, G.D. A comparative study on three boundary element method approaches to problem in elastodynamics / G.D. Manolis // Int. J. Num. Meth. Eng. – 1983. – Vol. 19, 1. – P. 73–91.
19. Угодчиков, А.Г. Метод граничных элементов в механике деформируемого твердого тела / А.Г. Угодчиков, Н.М. Хуторянский. – Казань: Изд-во КГУ, 1986. – 296 с.
20. Игумнов, Л.А. Решение осесимметричных задач нестационарного динамического деформирования вязкоупругих элементов конструкций методом гранично-временных интегральных уравнений: автореф. дис... канд. тех. наук: 01.02.04 / Игумнов Леонид Александрович. – Горький, 1987. – 18 с.
21. Турилов, В.В. Расчет нестационарного динамического деформирования трехмерных упругих элементов конструкций методом гранично-временных элементов: автореф. дис... канд. тех. наук: 01.02.04 / Турилов Валерий Вячеславович. – Горький, 1986. – 20 с.
22. Хуторянский, Н.М. Метод гранично-временных элементов в пространственных задачах нестационарной динамики упругих и вязкоупругих тел: автореф. дис... д-ра техн. наук: 01.02.04 / Хуторянский Наум Маркович. – Рига, 1988. – 32 с.
23. Karabalis, D.L. Dynamic response of 3-D foundations by time domain boundary element method / D.L. Karabalis, D.E. Beskos // NSF Grant No. CEE-8024725, Department of Civil and Mineral Engineering. – Minnesota. Minneapolis. – University of Minnesota. 1984.
24. Ahmad, S. Time-domain transient elastodynamic analysis of 3-d solids by BEM / S. Ahmad, P.K. Banerjee // Int. J. Num. Meth. Eng. – 1988. – Vol. 26. – P. 1709–1728.
25. Beskos, D.E. Boundary element methods in dynamic analysis: Part II 1986-1996 / D.E. Beskos // Appl. Mech. Reviews. – 1997. – Vol. 50. – P. 149–197.
26. Sutradhar, A. Transient heat conduction in homogeneous and non-homogeneous materials by the Laplace transform Galerkin boundary element method / A. Sutradhar, G. H. Paulino, L.J. Gray // Eng. Analysis with Boundary Elements. – 2002. – Vol. 26, 2. – P. 119–132.
27. Mesquita, A.D. A simple Kelvin and Boltzmann viscoelastic analysis of three-dimensional solids by the boundary element method / A.D. Mesquita, H.B. Coda // Eng. Analysis with Boundary Elements. – 2003. – Vol. 27, 9. – P. 885–895.
28. Marrero, M. Numerical behavior of time domain BEM for three-dimensional transient elastodynamic problems / M. Marrero, J. Dominguez // Eng. Analysis with Boundary Elements. – 2003. – Vol. 27, 1. – P. 39–48.
29. Разработка метода граничных элементов и комплекса программ для расчета колебаний трехмерных конструкций, взаимодействующих с жидкостью: Отчет о НИР / НИИ механики ННГУ; рук. Хуторянский Н.М. – Н. Новгород, 1991. – 90 с. – № ГР Х35838. – Инв. № Г24571.
30. Игумнов, Л.А. Методика расчета метода граничных элементов для трехмерных квазистатических и стационарных динамических задач вязкоупругости / Л.А. Игумнов, И.М. Буравлев // Прикладные проблемы прочности и пластичности. Численное моделирование физико-механических процессов: Межвуз. сб. / М.: ТНИ КМК. – 1995. – Вып. 52. – С. 37–46.

[11.07.2005]